

TEHNOLOŠKE ZABILJEŠKE

Uređuje: Marin Kovačić



M. Kovačić*

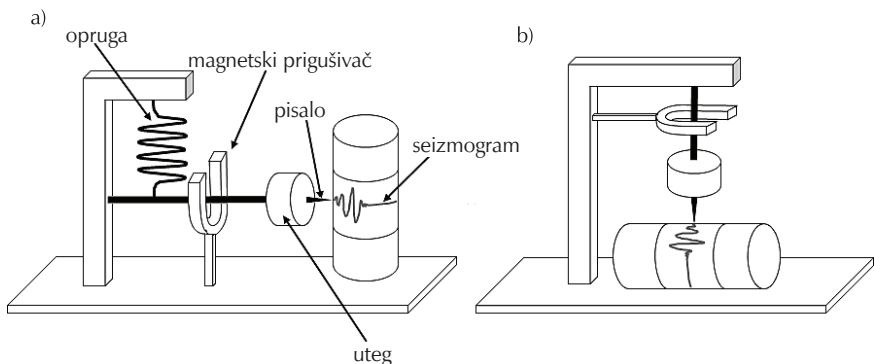
Fakultet kemijskog inženjerstva i tehnologije

Sveučilišta u Zagrebu

Zavod za polimerno inženjerstvo i organsku
kemijsku tehnologiju procesa, Savska cesta 16
10 000 Zagreb

Razmjeri energije oslobođene tijekom potresa

Tijekom 2020. tri jaka potresa zatresla su središnju Hrvatsku. Najprije je 22. ožujka potres magnitude 5,5 po Richteru izazvao znatnu štetu u Zagrebu, zatim je 28. prosinca uslijedio potres magnitude 5,0 kod Petrinje, koji je prethodio najačem i izuzetno razornom udaru magnitude 6,2 po Richteru sljedećeg dana.^{1,2} Do pojave tih destruktivnih prirodnih fenomena dolazi uslijed naglog oslobođanja energije akumulirane djelovanjem smičnih naprezanja na dodirnim plohama formacija stijena koje nazivamo rasjedima. Kada naprezanja premaže kritičnu čvrstoću stijena, dolazi do njihova naglog pomaka. Akumulirana energija tada se troši za lom i promjenu gravitacijske potencijalne energije stijena, pri čemu se u okolnu litosferu oslobođaju seizmički valovi te toplina kao rezultat trenja. Među navedenim, najveći doprinos u ukupno oslobođenoj energiji ima promjena gravitacijske potencijalne energije.³ Udio oslobođene toplinske energije kod potresa velike magnitude gotovo je zanemariv, međutim dovoljan je za taljenje stijena na dodirnoj površini rasjeda. Primjerice, trenje i posljedično taljenje stijena rasjeda tijekom potresa "Chi-Chi" 1999. na Tajvanu rezultiralo je drastičnim smanjenjem koeficijenta trenja, što je doprinijelo lokalnim pomacima tla od gotovo 12 m.⁴ Razorna moć potresa rezultat je djelovanja mehaničkih (potresnih) valova koji se šire radikalno iz hipocentra, odnosno izvora potresa. Postoji više tipova seizmičkih valova, a dijelimo ih na: (i) longitudinalne (P), (ii) transverzalne (S), (iii) Loveove te Rayleighove valove. Longitudinalni i transverzalni valovi su prostorni valovi te se šire kroz unutrašnjost Zemlje, dok su Loveovi i Rayleighovi valovi površinski a nastaju kao posljedica interferencije i međudjelovanja P i S valova. U epicentru, odnosno površinskoj točki iznad hipocentra, prevladavaju transverzalni valovi, koje ujedno karakterizira najveća rušilačka moć. Brzina širenja valova kroz Zemlju ovisi ponajprije o sastavu i gustoći tla, pri čemu se seizmički valovi najbrže gibaju kroz čvrste stijene, a brzina širenja valova raste s dubinom. U slučaju P valova brzina širenja kreće se između 1 i 14 km s⁻¹, dok je u slučaju S valova riječ o brzinama od 0,5 do 8 km s⁻¹. P valovi sporiji su od S valova jer je titranje čestica okomito na smjer gibanja vala. Nadalje, P valove jakih potresa mogu detektirati seismografi na dijametralno suprotnom kraju Zemlje, budući da se radi o tlačnom valu koji nesmetano prolazi kroz plašt i jezgru. S valovi, s obzirom na to da se radi o smičnim valovima, ne mogu se širiti kroz rastaljenu vanjsku jezgru, stoga ne dopiru do udaljenih seismoloških postaja. Upravo je na temelju tog opažanja



Slika 1 – Pojednostavljeni shematski prikaz seismografa u: a) vertikalnoj i b) horizontalnoj izvedbi. U praksi se seismogram bilježi fotonskim zapisom na foto-osjetljivom papiru.

slavni geofizičar Andrija Mohorovičić otkrio postojanje granice između Zemljine kore i plašta, tzv. "Moho diskontinuitet".^{5,6}

Energija seizmičkih valova oslobođena tijekom potresa može se aproksimirati prema izrazu (1):

$$\log E = 11,8 + 1,5 M_W \quad (1)$$

pri čemu E predstavlja energiju oslobođenu u žarištu, odnosno hipocentru, a M_W momentnu magnitudu potresa koju zabilježi Woods-Andersonov torzijski seismograf.

Magnituda potresa predstavlja izravnu mjeru oslobođene energije, jer je magnituda proporcionalna pružanju, nagibu i pomaku stijena na rasjedu. Na osnovi analize zabilježenih seizmičkih valova te procjenom geoloških svojstava stijena, seismolozi mogu izračunati seizmički moment (M_0); prema izrazu (2):

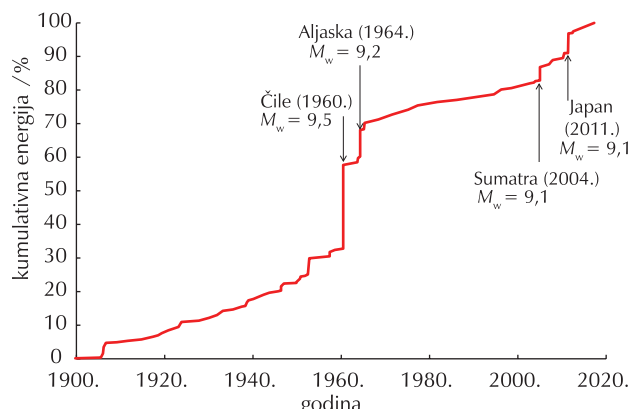
$$M_0 = \mu S \bar{d} \quad (2)$$

gdje μ predstavlja modul elastičnosti stijenske mase, S je površina rasjednih ploha, a \bar{d} srednja vrijednost pomaka duž rasjeda. Japanski seismolog Hiroo Kanamori razvio je koncept standarizirane momentne magnitudo, koji je funkcija seizmičkog momenta:^{6,7}

$$M_w = (\log M_0 - 9,1)/1,5. \quad (3)$$

Tipična površina rasjeda zahvaćena potresom magnitudo $M_w = 4$ iznosi oko 1 km² te se udeseterostručuje za svaki daljnji jedinični porast momentne magnitudo, kao i amplituda valova.⁸ Primjera radi, hipotetski potres $M_w = 8,47$ moguć je ako bi došlo do prosječnog pomaka stijena od 10 m na rasjedu duljine oko 1400 km. Međutim, jedinično povećanje magnitudo potresa odgovara povećanju oslobođene energije od čak 32 puta. Logaritamsku prirodu povećanja oslobođene energije najbolje predviđa grafički

mulativne energije oslobođene potresima u razdoblju od 1900. do 2020. na slici 2.



Slika 2 – Prikaz oslobođene energije potresima u razdoblju od 1900. do 2017. Ukupni moment sile u tom razdoblju iznosi $9,2 \cdot 10^{23}$ Nm.⁸

Energiju oslobođenu potresom možemo možda zornje predčiti tzv. *Kelly Kiloton Index* (KKI) ljestvicom, u kojoj se energija oslobođena potresom uspoređuje s energijom oslobođenom eksplozijom 1000 t trinitrotoluena (kT). Usporedba Richterove i KKI ljestvice dana je u tablici 1.⁹ Tako je energija oslobođena detonacijom najrazornijeg termonuklearnog oružja koje je čovjek ikad napravio ekvivalentna potresu magnitude oko 7,1 prema Richteru.

U potrazi za alternativom energijom iz fosilnih izvora čovjek je upregnuo brojne sile prirode. Bi li mogao iskoristiti i razornu energiju potresa u konstruktivne svrhe? Potresi se itekako često događaju na Zemlji, u što smo se uvjerili u proteklim godinu dana na ovim prostorima. U prosjeku, na dnevnoj se razini događa više stotina potresa magnitude oko 2 po Richteru, a mjesечно jedan magnitude oko 7. Shodno tome, možemo reći da se veće količine tektonske energije oslobođaju gotovo konstantno.¹⁰ Hipotetski, postavljanjem mreže piezo-kristala oko rasjeda, pomoću piezoelektričnog efekta seizmička energija potresa mogla bi se pretvoriti u električnu energiju. Međutim, potrese je teško predvidjeti, stoga bi proizvodnja električne energije bila uvelike diskontinuirana. Primjerice, novozelandski rasjed *Alpine Fault* poznat je kao jedan od velikih rasjeda s razmjerno točnim intervalima, pri čemu se značajni potresi događaju u prosjeku svakih 330 godina, a posljednji potres bio je 1717. godine. Seizmolozzi predviđaju kako vjerojatnost potresa velike magnitude ($>7,0$) na tom rasjedu tijekom sljedećih 50 godina iznosi gotovo 30 %. Uvezši u obzir njihovu geografsku dislociranost te da se većina tektonskih poremećaja odvija ispod mora i oceana, eksploataciju seizmičke energije možemo smatrati gotovo nemogućom. Ipak, uvezši u obzir da u slučajevima katastrofalnih potresa dolazi do prekida opskrbe električnom energijom, potencijalno su zanimljiva rješenja za pretvorbu seizmičke u električnu energiju, barem za potrebe tzv. panik- i evakuacijske rasvjete, ako ne i za potrebe telefonskih centrala i repetitora mobilne mreže, mrežne infrastrukture i slično. S tom mišlju su studenti Sveučilišta u Leicestru predložili idejno rješenje u kojem bi jednostavniji električni generatori s pomičnim magnetom u zavojnici mogli proizvesti dovoljno energije za rad evakuacijske rasvjete.¹¹ Simultani napredak piezoelektričnih pretvornika i elektronike omogućio je razvoj nosivih senzora koji se napajaju kretanjem. Stoga su piezoelek-

trični pretvornici dosegli tehnološku zrelost za pretvorbu vibracija građevina u električnu energiju. *Dal Bo i Cardonio*¹² konstruirali su i ispitali seizmički pretvornik, koji je mogao proizvesti nekoliko stotina mW pri ubrzanju od 1 g, što doduše nije dovoljno za samostalno pokretanje trošila. No s obzirom na ukupan obujam uređaja od svega 50 cm³ moguće ga je ugraditi u veliku površinu i pri tome generirati korisnu količinu električne energije.

Nedavni nemili događaji možda daju impuls daljnjem razvoju geologije i seismologije u Hrvatskoj, kako je to bio slučaj slavnog Mohorovičića 1909. godine.

Tablica 1 – Energija oslobođena potresom izražena prema kilotonском ekvivalentu trinitrotoluena

Intenzitet prema Richteru	Kelly Kiloton Index (KKI)
6,0	1 000
6,5	5 600
7,0	32 000
7,5	180 000
8,0	1 040 000

Literatura

- URL: https://www.pmf.unizg.hr/geof/seizmoloska_sluzba/o_zagrebackom_potresu_2020 (28. 2. 2021.).
- URL: https://www.pmf.unizg.hr/geof/seizmoloska_sluzba/potresi_kod_petrinje (28. 2. 2021.).
- C.-L. Lo, S.-K. Hsu, Earthquake-induced gravitational potential energy change in the active Taiwan orogenic belt, *Geophys. J. Int.* **162** (2005) 169–176, doi: <https://doi.org/10.1111/j.1365-246X.2005.02634.x>.
- W.-H. Li, C.-H. Lee, M.-H. Ma, P.J. Huang, S.Y. Wu, Fault dynamics of the 1999 Chi-Chi earthquake: clues from nanometric geochemical analysis of fault gouges, *Sci. Rep.* **9** (2019) 5683, doi: <https://doi.org/10.1038/s41598-019-42028-w>.
- M. Herak, Andrija Mohorovičić: 2010 – centennial discovery of the Moho, *Studia Geophys. et Geod.* **56** (2012) 293–298, doi: <https://doi.org/10.1007/s11200-011-0076-4>.
- URL: http://eqseis.geosc.psu.edu/common/HTML/Classes/IntroQuakes/Notes/waves_and_interior.html (3. 3. 2021.).
- H. Kanamori, The energy release in great earthquakes, *J. Geophys. Res.* **82** (1977) 2981–2987, doi: <https://doi.org/10.1029/JB082i020p02981>.
- P. Bormann, D. Di Giacomo, The moment magnitude MW and the energy magnitude Me: common roots and differences, *J. Seismol.* **15** (2011) 411–427, doi: <https://doi.org/10.1007/s10950-010-9219-2>.
- URL: <https://www.usgs.gov/media/images/eq-magnitude-energy-release-and-shaking-intensity> (3. 3. 2021.).
- URL: <https://english.ucla.edu/wp-content/uploads/Kiloton.pdf> (3. 3. 2021.).
- URL: https://www.iris.edu/hq/inclass/fact-sheet/how_often_do_earthquakes_occur (3.3.2021.).
- URL: <https://www2.le.ac.uk/offices/press/press-releases/2016/july/student-research-examines-how-to-generate-energy-during-earthquakes> (3. 3. 2021.).
- L. Dal Bo, P. Cardonio, Energy harvesting with electromagnetic and piezoelectric seismic transducers: Unified theory and experimental validation, *J. Sound Vib.* **433** (2018) 385–424, doi: <https://doi.org/10.1016/j.jsv.2018.06.034>.